

高温性カンピロバクターラリーのゲノム解析と 多遺伝子配列情報に基づく分子識別； ウレアーゼ陽性高温性カンピロバクターの ウレアーゼ遺伝子の分離株間における 遺伝的な不均一性に関する研究

Genetic heterogeneity of urease gene loci in urease-positive thermophilic Campylobacter (UPTC)

松田基夫, 三田明弘, 村山 洋

麻布大学大学院環境保健学研究科

Motoo Matsuda, Akihiro Sanda, and Ohoshi Murayama

Graduate School of Environmental Health Sciences, Azabu University

Abstract. Degenerate PCR primers were designed *in silico* based on two urease structural genes, namely *ureA* and *ureB*, for urease-positive thermophilic *Campylobacter* (UPTC) organisms. Resultant PCR amplification employing these primers generated an amplicon of approximately 2 kb, which was cloned and sequenced, in UPTC organisms ($n = 12$), isolated from various parts of Europe and Japan. Overall, sequence similarities were shown to be 96.7 to 99.9 % and following sequence alignment analysis, the approximate 1.96-kb regions from the 12 isolates were deduced to consist of parts of *ureA* (about 570 bps) and *ureB* (about 1390 bps) which contain an overlapping region between the *ureA* and *ureB* gene loci. Although a total of 144 heterogeneous sites of all substitutions were located throughout this region, the substitution ratio was higher in the *ureA* region (1/ Δ 10 bases) than in the *ureB* region (1/ Δ 15 bases). A resulting dendrogram was constructed, which was based on the nucleotide sequence data of 12 UPTC isolates examined and demonstrated that the UPTC organisms were genetically variable. UPTC organisms formed a major cluster with *Helicobacter* organisms, separate from the other urease-producing bacteria examined, suggesting a shared ancestry between UPTC organisms and *Helicobacter*.

目的

ウレアーゼ陽性高温性 *Campylobacter* (UPTC) は Bolton らにより 1985 年に初めてイギリスで分離された (Bolton *et al.*, 1985)。この最初の報告の後, UPTC は現在までにフランス, 北アイルランド, そしてオ

ランダでその分離が報告され, 日本でも分離が報告された (Megraud *et al.*, 1988; Bezing *et al.*, 1990; Wilson and Moore; Matsuda *et al.*, 1996; Endtz *et al.*, 1997; Kaneko *et al.*, 1999; Matsuda *et al.*, 2002; Matsuda *et al.*, 2003)。

多くの細菌種はウレアーゼ (urea amidohydrolase;

EC. 3.5.1.5) を產生する。UPTC は *Campylobacter* 属の中ではめずらしく、*C. sputorum* biovar paraureolyticus (On *et al.*, 1998) と共にウレアーゼを产生する生化学的に非定型的なタキソンの 1 つである。しかし、UPTC のウレアーゼについては報告はない。そこで、本研究では UPTC のウレアーゼ遺伝子を PCR で増幅するための新しい縮退プライマーを *in silico* に作成し、このプライマーを用いて UPTC のウレアーゼ構造遺伝子の約 2 kbp に渡る領域をクローニングすることを目的とした。更に、筆者らは得られた PCR クローンの塩基配列の決定と配列類似性の解析を行い、UPTC12 株間及び UPTC12 株と他のいくつかのウレアーゼ产生細菌の間での配列データに基づく系統分類学的関係を示す「クラスター解析」を行った。

材料及び方法

今回の研究に用いた UPTC12 株とその詳細を Table 1 に示した。ゲノム DNA の調製は Sambrook 等の方法を用いて行った (Sambrook *et al.*, 1989)。1% アガロースゲル電気泳動で分画し精製された PCR 産物を、次に TA クローニングの手法を用いて pGEM-T ベクターにクローニングした。M13 を用いたサイクルシーケンシング反応の後、クローニングされた PCR 産物の塩基配列の決定を日立 SQ5500-EL DNA 自動シーケンサーを用いて行った。UPTC12 株の得られた約 1.96 kbp に渡るウレアーゼ構造遺伝子の塩基配列を CLUSTAL W software (Thompson *et al.*, 1994) (1.7 program) を用いて他のウレアーゼ产生細菌の配列データと比較した。なお、系統樹は UPGMA 法を

用いて作成した。

結果及び考察

本研究においては、UPTC のウレアーゼ構造遺伝子について、まず筆者らの UPTC ウレアーゼの予備的な生化学的精製に関する実験の知見に基づいて仮説的な *ureA* と *ureB* 遺伝子を想定した。UPTC のウレアーゼ構造遺伝子の約 2 kbp 領域を PCR 増幅するために今回の研究で *in silico* にデザインし、用いたプライマーセットを Fig. 1 に示した。PCR プライマーは細菌と jack bean のウレアーゼ構造遺伝子とそれらの推定されるアミノ酸配列に基づいて *in silico* にデザインしたものである。用いた配列情報は *H. pylori* (accession no. AB032429), *H. hepaticus* (AF332656), *H. felis* (AF508004), *H. mustelae* (L33462), thermophilic *Bacillus* sp. strain TB-90 (D14439), *Klebsiella aerogenes* (M36068), *Proteus mirabilis* (M31834), *Yersinia enterocolitica* (L24101) そして *Canavalia ensiformis* (jack bean; M65260) に由来するものであった。

今回の研究で作成された新しい PCR プライマーを用いて、筆者らは約 2 kbp に渡る UPTC ウレアーゼ構造遺伝子の領域を増幅し、TA-クローニングして配列を決定した。塩基配列のマルチアライメントを行ったところ、約 1.96 kbp から成る UPTC 12 株の塩基配列が得られた (AB182111-AB182122; Table 1)。Table 2 に示されているように、UPTC12 株の 3 つのアンプリコンそれぞれはお互いに 96.7-99.9 % の塩基配列の類似性を示した。今回の研究で得られた塩基

Table 1. Isolates of urease-positive thermophilic *Campylobacter* used in the present study and accession numbers of the nucleotide sequence data of their urease genes accessible in the DDBJ/EMBL/Genbank

| Organism | Isolate no. | Country | Source | Accession number |
|----------|-------------|------------|-------------|------------------|
| UPTC | CF89-12 | Japan | River water | AB182111 |
| UPTC | CF89-14 | Japan | River water | AB182112 |
| UPTC | NCTC12892 | England | River water | AB182115 |
| UPTC | NCTC12895 | England | Mussel | AB182122 |
| UPTC | A1 | N. Ireland | Seagull | AB182117 |
| UPTC | A2 | N. Ireland | Seagull | AB182118 |
| UPTC | A3 | N. Ireland | Seagull | AB182119 |
| UPTC | 87 | N. Ireland | Sea water | AB182116 |
| UPTC | 136 | N. Ireland | Scallop | AB182121 |
| UPTC | 182 | N. Ireland | Sea water | AB182120 |
| UPTC | 89049 | France | Human | AB182113 |
| UPTC | 92251 | France | Human | AB182114 |

A)

B)

| Primer | Nucleotide sequence (5' to 3') | Reference |
|--------|--------------------------------|-------------------------------------------------------------------------------------------------------------------------------------------------------------------------------------------------------------|
| u2f | GGTDTWAAATTAAATTATST | Jones and Mobley (1989), Mulrooney and Hausinger (1990), Ferrero and Labigne (1993), Maeda et al. (1994), de Koning-Ward et al. (1994), Solnick et al. (1995), Akada et al. (2000), Beckwith et al. (2001), |
| u2r | CARCACAAAGATTATTAAAAC | the present work |
| u1f | GTRMGHTTGARCCNGG | the same as those of u2f |
| u1r | TGTCCDCVCCWGCVCCTTC | the same as those of u2f |
| u3f | CATACAGATACTTTAAAYGA | the present work |
| u3r | ACVGGYTSHGGDGTNGGRAT | the same as those of u2f |

Fig. 1 Schematic representation of a hypothetically putative *ureA* and *ureB* structural gene organization for urease-positive thermophilic *Campylobacter* (UPTC) organisms, including the locations of primers for PCR amplification (A) and primer sequences (B).

Table 2. Sequence similarity of the urease structural genes (approximate 1.96 kbp region) among UPTC isolates

| UPTC organism | Sequence similarity (%) | | | | | | | | | | | |
|----------------|-------------------------|-----------------|-----------------------|-----------------------|------------|------------|------------|------------|-------------|-------------|---------------|---------------|
| | UPTC CF89-12 | UPTC CF89-14 | UPTC NCTC 12892 | UPTC NCTC 12895 | UPTC A1 | UPTC A2 | UPTC A3 | UPTC 87 | UPTC 136 | UPTC 182 | UPTC 89049 | UPTC 92251 |
| | 99.9 | 98.1 | 98.3 | 97.7 | 97.4 | 97.4 | 97.7 | 98.2 | 97.5 | 97.8 | 97.6 | |
| UPTC CF89-12 | | | | | | | | | | | | |
| UPTC CF89-14 | | 98.2 | 98.4 | 97.7 | 97.5 | 97.3 | 97.8 | 98.2 | 97.6 | 97.9 | 97.6 | |
| UPTC NCTC12892 | | | 99.1 | 97.3 | 97.0 | 97.0 | 98.3 | 98.6 | 98.0 | 97.6 | 97.2 | |
| UPTC NCTC12895 | | | | 97.6 | 97.3 | 97.2 | 98.4 | 98.8 | 97.8 | 97.8 | 97.3 | |
| UPTC A1 | | | | | 99.6 | 98.6 | 97.2 | 97.3 | 97.4 | 98.6 | 98.7 | |
| UPTC A2 | | | | | | 98.5 | 97.0 | 97.1 | 97.1 | 98.4 | 98.5 | |
| UPTC A3 | | | | | | | 96.7 | 97.0 | 97.1 | 98.1 | 98.3 | |
| UPTC 87 | | | | | | | | 98.6 | 97.9 | 97.5 | 97.1 | |
| UPTC 136 | | | | | | | | | 98.0 | 97.6 | 97.4 | |
| UPTC 182 | | | | | | | | | | 97.7 | 97.5 | |
| UPTC 89049 | | | | | | | | | | | 98.9 | |
| UPTC 92251 | | | | | | | | | | | | |

配列データに基づいて、UPTC12株の1.96 kbp領域はウレアーゼA遺伝子(*ureA*)の3'側約570 bpとウレアーゼB遺伝子(*ureB*)の5'側約1390 bpから成ると判断された。そして、これらの1.96 kbp領域は*ureA*と*ureB*の明らかなオーバーラップ領域を含んでいた。塩基配列上の多型性部位を調べたところ、全体で144ヶ所のすべて塩基置換から成る不均一な部位が認められた。しかしながら、その置換率は*ureA*領域が約1/10塩基で、約1/15塩基の*ureB*領域より高かった。

UPTC12株のウレアーゼ遺伝子の配列情報に基づ

いてUPGMA法を用いて作成された系統分類学的関係を示すデントログラムをFig. 2に示した。Fig. 2は明らかにUPTC12株間における高い変異性の存在を示している。このことは、調べた限りではUPTCはウレアーゼ構造遺伝子情報に基づくと、遺伝子変異に富んでいること、*Helicobacter*属のウレアーゼ遺伝子とは相関が高いこと、しかし他のウレアーゼ産生細菌とは相関が低いことを示している。それ故に、UPTCと*Helicobacter*との間でのウレアーゼ遺伝子の“共通の祖先”的存在が強く示唆された。

以前筆者らは、multilocus enzyme electrophoresis

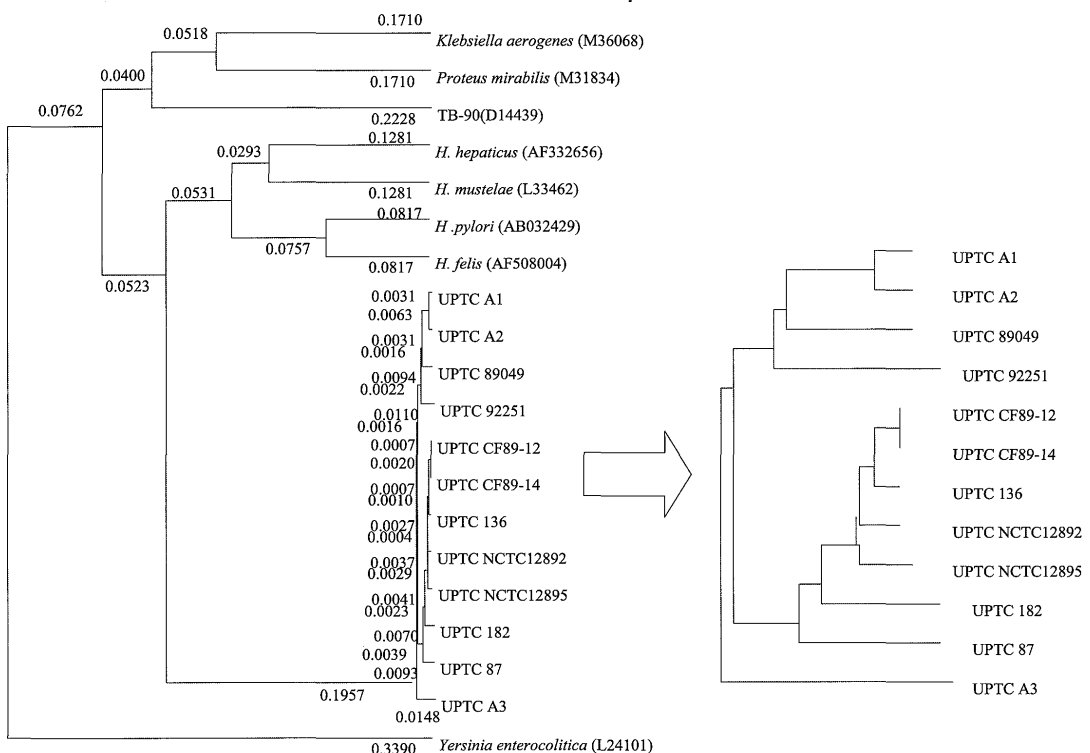


Fig. 2 Phylogenetic tree based on sequence similarity data of the urease structural genes from 12 UPTC isolates examined and other urease-producing bacteria. The tree was constructed by the UPGMA method. Values in the figure represent evolutionary distances. The accession numbers for the sequences used in the study are shown in parentheses. A cluster of 12 UPTC isolates was enlarged on the right side of the arrow, ⇨, in the figure.

(MLEE; Matsuda *et al.*, 2003) の手法を用いて UPTC31 株の遺伝的変異性について報告した。今回得られた結果はその MEE の手法を用いて得られた結果と一致している。

今回の研究で筆者らは UPTC の仮説的な 2 つのウレアーゼ遺伝子を想定し、PCR プライマーを *in silico* にデザインし、UPTC12 株から 1.96 kbp に渡るウレアーゼ遺伝子の領域を解析したが、UPTC のウレアーゼ構造遺伝子とアクセサリー遺伝子全体の遺伝子構成に関しては未だ不明のままであり今後の課題である。

今回の筆者らの研究は UPTC のウレアーゼ遺伝子の初めての遺伝的解析であり更に、10 株以上の UPTC タキソンを対象として細菌性ウレアーゼ遺伝子の不均一性を示した初めての報告である。

文 献

Bezian, M.C., Ribou, G., Barberis-Giletti, C., Megraud, F.: Isolation of a urase positive thermophilic variant of

Campylobacter lari from a patient with urinary tract infection. Eur. J. Clin. Microbiol. Infect. Dis. 9, 895-897 (1990)

Bolton, F.J., Holt, A.V., Hutchinson, D.N.: Urease-positive thermophilic campylobacters. Lancet i 25, 1217-1218 (1985)

Endtz, H. P., Vliegenthart, J. S., Vandamme, P., Weverink, H. W. van den Braak N. P., Verbrugh, H. A., van Berkum, A.: Genotypic diversity of *Campylobacter lari* isolated from mussels and oysters in the Netherlands. Int. J. Food Microbiol. 34, 79-88 (1997)

Kaneko, A., Matsuda, M., Miyajima, M., Moore, J.E., Murphy, P.G.: Urease-positive thermophilic strains of *Campylobacter* isolated from seagulls (*Larus* spp.). Lett. Appl. Microbiol. 29, 7-9 (1999)

Matsuda, M., Kaneko, A., Fukuyama, M., Itoh, T., Shingaki, M., Inoue, M., Moore, J.E., Murphy, P.G., Ishida, Y.: First finding of urease-positive thermophilic strains of *Campylobacter* in river water in the Far East, namely, in Japan, and their phenotypic and genotypic characterization. J. Appl. Bacteriol. 81, 608-612 (1996)

Matsuda, M., Shibuya, T., Itoh, Y., Takiguchi, M., Furuhata, K., Moore, J.E., Murayama, O., Fukuyama, M.: First

- isolation of urease-positive thermophilic *Campylobacter* (UPTC) from crows (*Corvus levaillantii*) in Japan. Int. J. Hyg. Environ. Health 205, 321-324 (2002)
- Matsuda, M., Kaneko, A., Stanley, T., Millar, B.C., Miyajima, M., Murphy, P.G., Moore, J.E.: Characterization of urease-positive thermophilic *Campylobacter* subspecies by multilocus enzyme electrophoresis typing. Appl. Environ. Microbiol. 69, 3308-3310 (2003)
- Mograud, F., Chevrier, D., Desplaces, N., Sedallian, A., Guesdon, J. L.: Urease-positive thermophilic *Campylobacter* (*Campylobacter laridis* variant) isolated from an appendix and from human feces. J. Clin. Mirobiol. 26, 1050-1051 (1988)
- On, S.L.W., Atabay, H.I., Corry, J.E.L., Harrington, C.S., Vandamme, P.: Emended description of *Campylobacter* *sputorum* and revision of its infrasubspecific (biovar) divisions, including *C. sputorum* biovar paraureolyticus, a urease-producing variant from cattle and humans. Int. J. Syst. Bacteriol. 48, 195-206 (1998)
- Sambrook, J., Fritsch, E.F., Maniatis, T.: Molecular cloning: a laboratory manual, 2nd edn, Cold Spring Harbor Laboratory Press, New York (1989)
- Thompson, J.D., Higgins, D.G., Gibson, T.J.: CLUSTAL W: improving the sensitivity of progressive multiple sequence alignment through sequence weighting, position-specific gap penalties and weight matrix choice. Nucleic Acids Res. 22, 4673-4680 (1994)
- Wilson, I.G., Moore, J.E.: Presence of *Salmonella* spp. and *Campylobacter* spp. in shellfish. Epidemiol. Infect. 116, 147-153 (1996)